民用飞机燃油箱富氮气体分配方案 选型设计方法初探

Preliminary Exploration on Type Selection Design of Fuel Tank Nitrogen-Enriched Gas Distribution Scheme for Civil Aircraft

郭军亮¹ 周 伟¹ 刘卫华²/ Guo Junliang¹ Zhou Wei¹ Liu Weihua²

- (1. 上海飞机设计研究院, 上海 201210; 2. 南京航空航天大学, 南京 210016)
- (1. Shanghai Aireraft Design and Research Institute, Shanghai 201210, China;
- 2. Nanjing University of Aeronautics and Astronautics, Nanjing 210016, China)

要: 摘

适航条款对民用飞机燃油箱内氧气浓度有明确规定,从而对燃油箱富氮气体分配方案的设计提出较高要 求。基于燃油箱冲洗惰化理论,以某型飞机燃油箱为例,对燃油箱富氮气体分配方案选型设计方法进行研 究。根据燃油箱容积和惰化时间,通过利用单舱燃油箱数学模型计算获得富氮气体需求量;然后利用多隔 舱燃油箱数学模型,以简化管路布置为寻优目标获得富氮气体分配方案。使用数学模拟的方法可快速评估 富氮气体分配方案性能,特别适用于大量设计参数尚未确定的方案选型设计阶段。

关键词:燃油箱惰化:燃油冲洗:惰化气体分配:选型设计:数学模拟

[Abstract] The oxygen concentration in the fuel tank of civil aircraft was prescribed in the airworthiness regulation. More attention shall be paid to the fuel tank Nitrogen-Enriched Gas (NEA) distribution scheme design to meet the airworthiness requirement. Based on fuel tank washing inert theory, the type selection design method for fuel tank NEA distribution scheme was introduced in this paper. The type selection design method was presented on a certain type aircraft fuel tank in this paper. The NEA flow could be calculated by using single-compartment fuel tank numerical model with fuel tank volume and inerting time. In order to simplify the tube placement, NEA distribution scheme could be designed by using multi-compartment fuel tank numerical model. Numerical simulation method could estimate the performance of NEA distribution scheme quickly, which is very useful for the type selection design phase while many inputs haven't been determined.

[Key words] Fuel Tank Inerting; Fuel Washing; Inert Gas Distribution; Type Selection Design; Numerical Simulation

引言 0

一直以来,飞机燃油箱爆炸是航空安全的主要 威胁之一[1]。燃油箱惰化系统通过向飞机燃油箱 充入惰化气体(又称富氮气体),使燃油箱液面上方 的氧气浓度维持在支持燃油燃烧所需的氧气浓度 以下,以防止由于点火源而引发燃油箱爆炸[2-3]。

经过多年研究,美国联邦航空局(FAA)于2008 年7月21日正式发布 FAR25 部第25-125 号修正

案《降低运输类飞机燃油箱可燃性》(Reduction of Fuel Tank Flammability in Transport Category Airplanes),推荐采用燃油箱惰化系统加强对燃油箱可 燃环境的控制。FAR25 部第 25-125 号修正案对飞 机燃油箱惰性标准作出了明确的要求:燃油箱每个 隔舱内的总体平均氧气浓度在海平面从 0 到 10 000ft高度之间不超过 12%, 10 000ft 到 40 000ft 高度之间的浓度值从12%线性增加至14.5%,高于 40 000ft 线性外推,则该油箱被认为是惰性的。为

使每个隔舱内平均氧气浓度满足适航条款要求,对 燃油箱富氮气体分配方案的设计提出了较高的 要求。

虽然直接采用 CFD 计算仿真可对燃油箱隔舱 惰化过程进行仿真模拟,并可获取各隔舱位置的浓 度场和速度场等详细信息。但是对于构型复杂的 多隔舱燃油箱,CFD 仿真的前处理和计算时间较 长。在方案选型设计阶段,设计者所关心的重点是 燃油箱各隔舱平均氧浓度的变化,并希望能根据平 均氧浓度变化规律,来评估惰化系统管路设计。而 且在系统方案选型设计阶段,往往有大量相关参数 尚未确定并在不断更改之中,显然采用 CFD 方法很 难迅速满足富氮气体分配方案选型设计的要求。 本文提出基于燃油箱气相空间冲洗惰化数学模型 的方法[4],对燃油箱惰化气体分配方案进行初始选 型设计,并以某型飞机燃油箱为例,其容积约为 6.615m3,对富氮气体分配方案选型设计方法进行 探讨。燃油箱构型如图1所示。

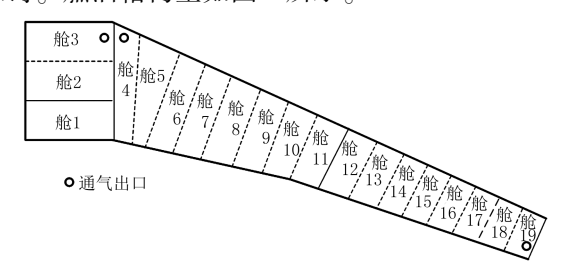


图 1 某型飞机燃油箱构型示意图

富氮气体需求量估算 1

进行富氮气体分配方案设计,首先要确定富氮 气体的需求量。文献[4]采用微分计算方法,建立 了燃油箱气相空间冲洗惰化的数学模型。虽然该 模型属于单舱燃油箱模型,但可通过忽略多隔舱燃 油箱内部结构,将多舱燃油箱作为单舱燃油箱来计 算富氮气体需求量,并作为初始输入值。采用文献 [4]所建数学模型,假设从21%氧气浓度惰化至适 航要求的12%,其惰化时间为7min,并基于燃油箱 空载这一极限条件进行计算,获得图1中燃油箱惰 化所需富氮气体流量约为 60.5kg/h。

燃油箱隔区划分

所谓燃油箱隔区指的是,由若干个相邻燃油箱隔 舱组成,相邻隔区之间通气孔面积相比于隔区内各油 箱隔舱之间通气孔面积小很多。对于民用飞机燃油 箱而言,密封肋、半密封肋等通气孔面积往往很小,不 利于富氮气体在油箱隔舱间的扩散。图 1 中燃油箱 各隔舱间通气孔的当量直径如表1所示。

表 1 燃油箱各隔舱间通气孔的当量直径

· //	
	通气孔当量直径(mm)
舱 1-舱 2	36
舱 1-舱 4	30
舱 2-舱 3	36
舱 2-舱 4	25
舱 3-舱 4	30
舱 4-舱 5	191
舱 5-舱 6	185
舱 6-舱 7	178
舱 7-舱 8	178
舱 8-舱 9	164
舱 9-舱 10	156
舱 10-舱 11	156
舱 11-舱 12	12
舱 12-舱 13	140
舱 13-舱 14	140
舱 14-舱 15	131
舱 15-舱 16	131
舱 16-舱 17	131
舱 17-舱 18	131
舱 18-舱 19	110

根据表1所示各隔舱间通气孔面积情况,可将 燃油箱划分为5个燃油箱隔区。

- 1) 隔区1:隔舱1:
- 2) 隔区2:隔舱2:
- 3) 隔区3:隔舱3;
- 4) 隔区4:隔舱4至隔舱11;
- 5) 隔区5:隔舱12至隔舱19。

富氮气体出口初步布置

在每个燃油箱隔舱均布置1个富氮气体出口. 对富氮气体在燃油箱内的扩散是最为有利的。但 是,这样也会使得富氮气体分配管路设计十分复 杂,管路重量较高,对于诸如图1中隔舱数量多的燃 油箱影响更为明显。由于燃油箱隔区内的富氮气 体扩散较为容易,在初始布置时,可根据隔区的划 分情况初步确定富氮气体出口。如果忽略燃油箱

民用飞机设计与研究

Civil Aircraft Design & Research

隔区内的阻碍结构,可将每个隔区视为一个单舱燃油箱。原则上,在每个燃油箱隔区布置一个富氮气体出口,并根据隔区的容积大小,通过在富氮气体出口处加装限流孔的方法分配不同的富氮气体流量,即可满足设计要求。对于图 1 中的燃油箱,为避开布置有通气出口的隔舱以及便于富氮气体快速扩散到各个隔舱,将隔区 4 的富氮气体出口布置在中间隔舱 8 处。又由于隔区 5 内各隔舱容积较小而隔舱间通气面积较大,可将富氮气体出口布置在隔舱 12 处,以减少管路长度。表 2 为各燃油箱隔区的容积及富氮气体分配流量。

文献[5]在文献[4]研究的基础上,建立了多隔 舱燃油箱地面惰化数学模型。该模型采用压差自 动调整和分配的方式来判断流经各隔舱的气流方向和流量。本文采用上述数学模型对表 2 中的富氮气体出口布置方式进行计算,得到燃油箱各隔舱内的平均氧气浓度随时间变化的关系如图 2 所示。

表 2 富氮气体流量分配

隔区	容积(m³)	富氮气体流量(kg/h)
隔区1	0.76	7
隔区2	0.819	7.6
隔区3	0.71	6.6
隔区4	3.338	30.2
隔区5	0.988	9.1

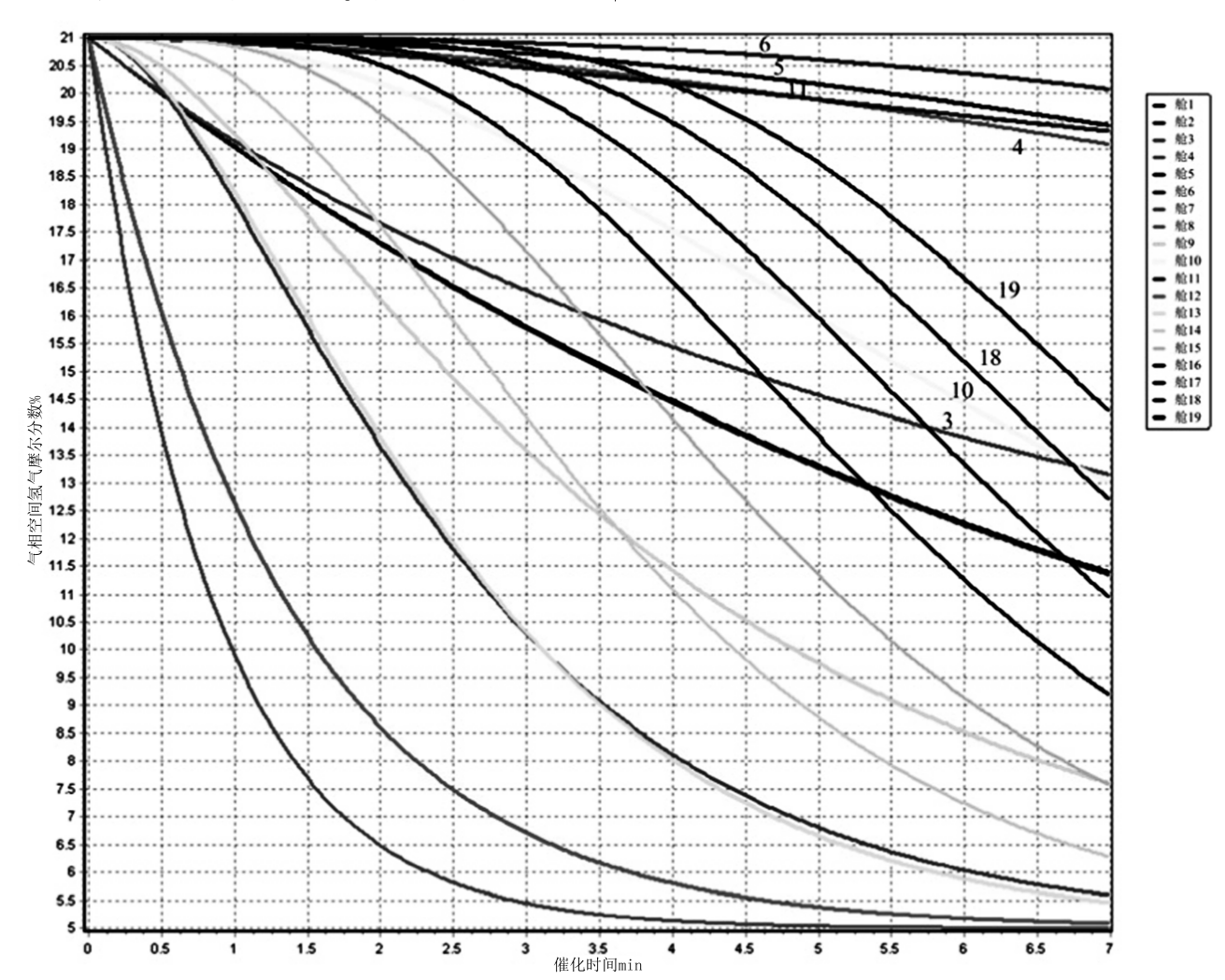


图 2 富氮气体初步布置方式各隔舱内平均氧气浓度随时间的变化关系图

从图 2 中可以发现,隔区 3 中经过惰化的氧气浓度高于 12%,这是由于隔舱 3 内的通气孔使得富氮气体排至舱外造成的。隔区 4 内有 5 个隔舱经过惰化的氧气浓度高于 12%,由于这 5 个隔舱离布置

有富氮气体出口的隔舱(舱8)位置较远,隔舱间的 肋板阻碍了富氮气体的扩散。隔区5内有2个隔舱 经过惰化的氧气浓度高于12%,这是因为这2个隔 舱同样离布置有富氮气体出口的隔舱(舱12)位置 较远,且隔舱19内布置有通气出口。

4 富氮气体出口布置优化

对第3节中富氮气体出口初步布置计算结果进 行优化,首先,富氮气体出口布置在舱 12 可以减轻 管路重量。理论上稍微提高隔舱 12 的富氮气体流 量,即可使得隔区5内各隔舱的氧气浓度满足要求。 其次,由于隔区4内各隔舱容积较大,舱间肋板对富 氮气体的扩散十分不利。因此,只需在隔区4内增 加富氮气体出口,以加快富氮气体在隔舱间的扩 散。因为管路要一直延伸到隔区5,必然经过隔区 4,而增加富氮气体出口不会增加较多管路重量。最 后,由于提高了隔区4内富氮气体扩散性,由隔区4 进入隔区3的富氮气体流量会增加。因此,隔区3 的富氮气体流量可基本保持不变。基于上述分析 进行出口布置寻优,本文获得的富氮气体出口优化 布置方式如表3所示。

采用文献[5]中数学模型对表3富氮气体出口 布置方式进行计算,获得燃油箱各隔舱内的平均氧 气浓度随时间变化的关系如图 3 所示。

表 3 富氮气体出口优化布置方式

隔区	容积(m³)	富氮气体 流量(kg/h)	富氮气体 出口
隔区1	0.76	7	舱 1
隔区2	0.819	7.6	舱 2
隔区3	0.71	6.6	舱 3
隔区 4	3.338	27.9	舱 5(14kg/h) 舱 8(8.5kg/h) 舱 11(5.4kg/h)
隔区5	0.988	11.4	舱 12

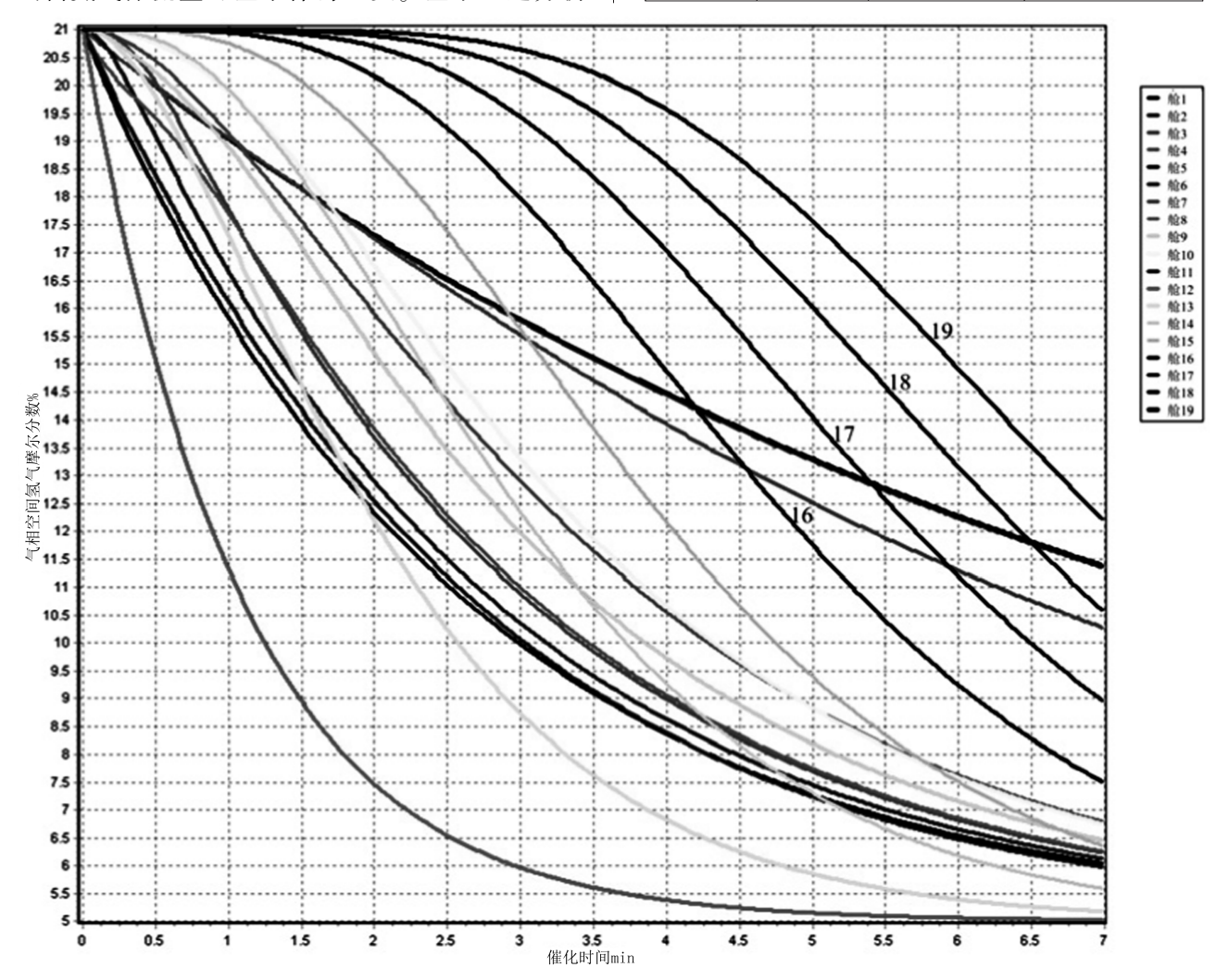


图 3 富氮气体优化布置方式各隔舱内平均氧气浓度随时间的变化关系图

从图 3 中可以发现,表 3 中的富氮气体出口布 | 21%降低到 12%的设计要求。值得注意的是,只需 置方案实现了在7min内,使每个隔舱的氧气浓度从

(下转第70页)

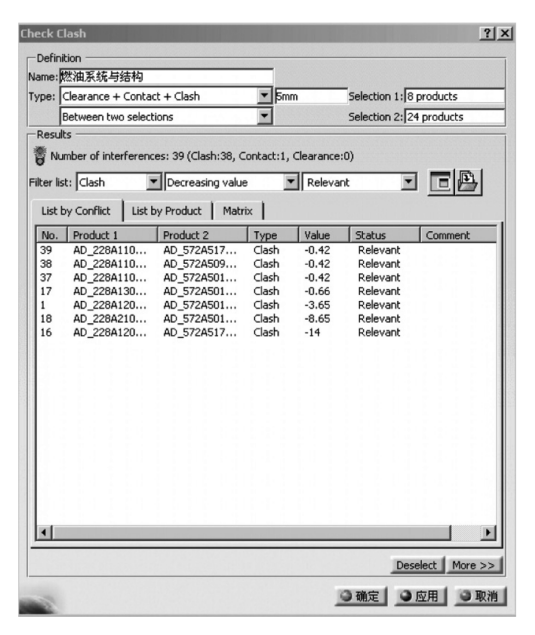


图 11 简化显示结果

要仔细将 CATIA 模型调整几个角度, 检查除计算结 果显示的干涉外是否存在其他干涉。

2.6 2D 批注

在进行干涉检查时,为了方便地找出干涉位置,

可以在完成干涉检查后利用 2D 批注记录干涉位 置,双击结构树上的 application 中的某个干涉就可 以显示干涉位置,对于大量的干涉检查,记录干涉 位置是十分必要的,这样可以提高工作效率,尤其 是在进行视频协调会议时,可以很方便地让大家看 到干涉位置,而不用花时间在现场调整数模角度。 该功能唯一的缺点是如果将模型转一个角度就无 法显示干涉位置。

3 结论

通过 SPA 在数字样机中的应用与研究发现,利 用 SPA 的分析工能,可以有效减少工程更改单的数 量,大大提高设计质量,从而减少废品和返工现象。 但是应用研究也发现,设计员不能完全依赖 SPA 的 分析结果,它也有一定的缺陷,需要设计员对分析 结果具备一定的判断分析能力。

参考文献:

[1] 高秀华, 王智明, 王继新. 工程分析及电子样机模拟 [M]. 北京:化学工业出版社,2004.

(上接第51页)

在隔舱 12 布置一个富氮气体出口,即可满足9号肋 至17号肋之间隔舱的惰化需求。这样一来,仅需要 将惰化管路布置到隔舱 12,即可减轻惰化管路重 量。如果增加富氮气体出口,会更加利于富氮气体 的扩散,进一步减小对富氮气体的需求量,从而降 低对发动机引气量的需求。但是,富氮气体出口的 增加也会带来管路重量的增加和系统构型的复杂 化。所以,在富氮气体出口布置方案详细设计中, 应从降低富氮气体需求量和减少富氮气体出口两 方面综合考虑。

5 结论

本文采用数学模型方法,以某型飞机燃油箱为 例,对燃油箱惰化系统富氮气体分配方案选型设计 方法进行研究。燃油箱惰化系统富氮气体分配方 案的选型设计流程如图 4 所示。

利用数学模型方法进行燃油箱惰化系统富氮 气体分配方案选型设计,可以大大节省设计时间, 提高设计效率,是一种快捷而有效的选型设计方法。

参考文献:

- [1] William M. C. Developing a fuel tank inerting system
- [J]. Aircraft Survivability, Published by the Joint Aircraft Sur-

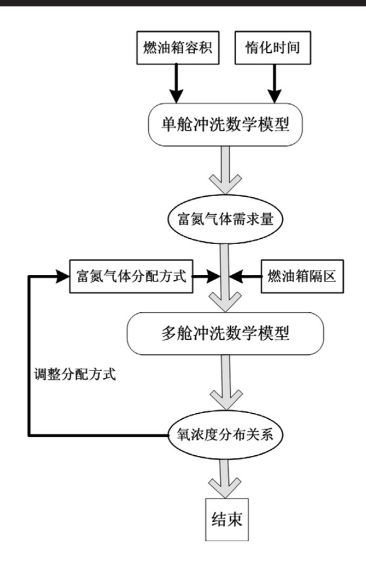


图 4 富氮气体分配方案选型设计流程

vivability Program Office, 2005:20-23.

- [2] 王小平, 肖再华. 飞机燃油箱氮气惰化的机理分析及应 用[J]. 航空科学技术,2008,8:24-26.
- [3] Bradford L. Moravec, etc. Commercial aircraft on-board inerting system: US, US 7152635 B2[P]. 2006.
- [4] 高秀峰,刘卫华,熊斌等. 飞机燃油箱冲洗惰化过程的理 论研究[J]. 西安交通大学学报, 2010,9:16-20.
- [5]周宇穂, 刘卫华, 冯诗愚. 多隔舱燃油箱地面惰化过程 理论研究[J]. 民用飞机设计与研究, 2010 年增刊:16-20.